

## بررسی همزمان رفتاری و عصب‌شناختی یادگیری و انتقال تکلیف ترسیم دوستی نامتقارن

\* محمد رضا دوستان<sup>۱</sup>، زهرا باقرنژاد<sup>۲</sup>

۱. مریب رفتار حرکتی، دانشگاه شهید چمران اهواز، اهواز، ایران.

۲. کارشناس ارشد رفتار حرکتی، دانشگاه آزاد اسلامی واحد شوشتر، شوشتر، ایران.

(تاریخ وصول: ۹۶/۰۴/۱۷ – تاریخ پذیرش: ۹۶/۰۶/۲۹)

## Behavioral and Neurological Investigation of learning and Transfer of Asymmetric Bimanual Task

\*Mohammadreza Doostan<sup>1</sup>, Zahra Baghernezhad<sup>2</sup>

1. Instructor of Motor Behavior , Shahid Chamran University of Ahvaz, Ahwaz, Iran.

2. M.A in Motor Behavior. Islamic Azad University of shoshtar,shooshtar, Iran.

(Received: Jul. 08, 2017 - Accepted: Sep. 20, 2017)

### Abstract

**Aim:** The aim of this study was to investigate the behavioral and neurological of learning and transfer of asymmetric bimanual task. **Methods:** The study is quasi-experimental. Instruments used in this study included quad-channel EEG, pen Mouse, laptop, special gloves and metronome. The participations of the research were eight grade, right-handed students (mean age,  $14/2 \pm 0/13$ ) formed ( $N=10$ ). They has normal vision and no physical problem or there was no movement. After pre-test participants for three days of training and then post-test were performed. Tests were performed in conditions difficult task with the dominant hand and the conditions were difficult task with non-dominant hand. Asymmetric training can mean the difference was the speed and the effect of gravity on two hands. **Findings:** The results showed that training of bimanual coordination pattern that movement difference between two hands is both the speed and the effect of gravity, the transfer does not occur to vice versa. EEG results showed it seems that in difficult bimanual coordination task, prior training that task to do more difficult, brain activity of cortical areas is higher. Furthermore, brain activity in motor and frontal regions in the left hemisphere was higher than right hemisphere. **Conclusion:** Combining two or more features that together in asymmetric bimanual task to make a stronger coupling that levels of control take up a higher level.

**Keywords:** transfer, bimanual coordination of outlining, brain hemispheres

### چکیده

مقدمه: هدف از پژوهش حاضر بررسی همزمان رفتاری و عصب‌شناختی یادگیری و انتقال تکلیف ترسیم دوستی نامتقارن بود. روش: پژوهش حاضر از نوع پژوهش‌های نمایه‌تجربی است. ابزار مورد استفاده شامل EEG چهارکاتاله، قلم نوری با حسگر ویژه، لپتاپ، دستکش ویژه و مترونوم بود. شرکت‌کنندگان تحقیق حاضر را دانش‌آموزان پایه هشتم (با میانگین سنی  $14/2 \pm 0/13$ ) تشکیل دادند ( $N=10$  نفر)، که همگی راست دست، راست پا و راست چشم و دارای دید طبیعی بودند و هیچ‌گونه مشکل جسمانی یا حرکتی نداشتند. شرکت‌کنندگان پس از پیش‌آزمون به مدت سه روز تمرین نموده سپس پس‌آزمون‌ها به عمل می‌آمد. آزمون‌ها هم در شرایط تکلیف دشوار با دست برتر (شرایط تمرینی) و هم در شرایط تکلیف دشوار با دست غیربرتر صورت گرفت. نامتقارنی به معنای تفاوت سرعت و اثر جاذبه بر دو دست بود. یافته‌ها: نتایج نشان داد که با تمرین الگوی هماهنگی دوستی، انتقالی به حالت عکس رخ نمی‌دهد. نتایج EEG نشان داد که در تکلیف پیچیده و دشوار هماهنگی دوستی، که پیش از تمرینات تکلیف برای انجام دشوار است فعالیت نواحی قشری مغز بیشتر است و نیز نواحی مغزی حرکتی و ناحیه فرونتال نیمکره چپ فعالیت بالاتری نسبت به نیمکره راست دارد. نتیجه‌گیری: ترکیب دو یا چند ویژگی در تکلیف نامتقارن دوستی، جفت شدگی قوی‌تری ایجاد می‌کنند که سطوح کترلی سطح بالاتری را درگیر می‌کنند.

وازگان کلیدی: انتقال، هماهنگی دوستی نامتقارن، نیمکرهای مغز

Email: mrdoostan@gmail.com

\* نویسنده مسئول: محمد رضا دوستان

این حرکات را با چالش مواجه می‌کند. در فهم

اینکه چگونه برهم‌کنش بین این عوامل و محدودیت‌های زمینه‌ای، باعث بروز و یا جلوگیری از انجام حرکات هماهنگی دودستی پیچیده می‌شود، چالش‌هایی وجود دارد. از جمله این عوامل به محیط زمینه‌ای و محدودیت‌های عمل مورد نظر در سیستم عصبی- حرکتی می‌توان اشاره کرد (شی، بوچمن و کندهی، ۲۰۱۶).

تمایل شدید دو دست برای تولید حرکات مشابه از نظر فضایی و زمانی در حرکات دودستی، منجر به بوجود آمدن این فرضیه شده است که برای هر دو دست یک برنامه حرکتی وجود دارد. این فرضیه در قالب نظریه برنامه حرکتی تعمیم یافته<sup>۱</sup> مطرح شده است. این نظریه در نظر دارد که حرکات با یک برنامه حرکتی در سیستم عصبی مرکزی و با پارامترهای حرکتی ارائه می‌شوند. در این نظریه، یک برنامه حرکتی شکل اصلی حرکت را پیش از آغاز آن تعیین می‌کند. اشمتیت<sup>۲</sup> و همکاران (۱۹۷۹) پیشنهاد کردند این مفهوم در حرکات دودستی قابل کاربرد است و ممکن است یک برنامه حرکتی کنترل حرکات هر دو دست را بر عهده داشته باشد. بر خلاف مدل برنامه حرکتی تعمیم یافته، مدل تداخل بین دستی<sup>۳</sup> عموماً بیان می‌کند که دو برنامه حرکتی

بسیاری از حرکات روزمره، با حرکت دو دست به طور همزمان انجام می‌گیرد. برای نزدیک به چهار دهه است که هماهنگی دودستی به عنوان نمونه‌ای از مهارت‌های حرکتی پیچیده در نظر گرفته شده است که به عنوان چشم‌اندازی از طراحی مغز مورد مطالعه قرار می‌گیرد (شی، بوچمن و کندهی<sup>۴</sup>، ۲۰۱۶). الگوهای هماهنگی دودستی که نیاز به فعال‌سازی همزمان عضلات مشابه دارند هم مرحله<sup>۵</sup> یا نامتقارن هستند. در حالیکه الگوهایی که از فعال‌سازی همزمان عضلات متفاوت ایجاد می‌شود بروون مرحله<sup>۶</sup> یا نامتقارن قلمداد می‌شوند. مطالعات زیادی نشان داده که اجرای الگوهای هم مرحله ثابت‌تر است تا اجرا در الگوهای بروون مرحله (برندز و رضوانی<sup>۷</sup>، ۲۰۱۶). به عنوان مثال ثابت بودن الگوهای هم مرحله به گرایش ذاتی نسبت داده می‌شود تا به شرکت فعل عضلات مشابه (Mechsner<sup>۸</sup>، ۲۰۰۱). پژوهش‌های پیشین در مورد هماهنگی دودستی، بیشتر بر توصیف محدودیت‌هایی الگوهای هماهنگ متقارن متمرکز یافته‌اند. این در حالی است که الگوهای هماهنگی دودستی نامتقارن به دشواری صورت می‌گیرد. اخیراً پژوهشگران تشخیص داده‌اند که عوامل و محدودیت‌هایی وجود دارد که تولید

6. Generalized Motor Program (GMP)  
7. Schmidt  
8. Crosstalk model

1. Shi & Bochman & Kenedi
2. In phase
3. Anti-phase
4. Brandes & Rezvani
5. Mechsner

ونگلو و سوئین (۲۰۰۶) و دوستان و همکاران (۲۰۱۶؛ گروه سوم) شواهد محکمی در مورد انتقال منفی از یادگیری قبلی تکلیف دودستی به وضعیت جفت شدگی متقارن را نشان دادند. اما در همه این پژوهش‌ها در یک زمان، تنها یک ویژگی در دو دست متفاوت بوده است. و پژوهشی که در آن همزمان دو یا چند ویژگی در دو دست متفاوت باشد انجام نشده است.

اکثر پژوهش‌هایی که به بررسی عصب‌شناختی حرکات هماهنگی دودستی پرداخته‌اند بر بیماران دچار اختلال عصبی مرکز یافته‌اند (دلگادو<sup>۴</sup> و همکاران، ۲۰۱۴). تائو و و<sup>۵</sup> (۲۰۱۰) گزارش کرد که در افراد سالم در انجام حرکات دودستی، هم در شرایط متقارن و هم در شرایط نامتقارن، نواحی گستردۀ‌ای فعال می‌شود.

شبکه وسیعی از نواحی مغزی با هماهنگی دودستی مرتبط است، از جمله قشر حرکتی اولیه<sup>۶</sup> (MI)، قشر پیش‌حرکتی<sup>۷</sup> (PMC)، ناحیه حرکتی مکمل<sup>۸</sup> (SMA)، ناحیه حرکتی سینگولیت<sup>۹</sup>، مخچه<sup>۱۰</sup> و عقدۀ‌های

مستقل برای دو دست وجود دارد. دیدگاه پردازش اطلاعات، جفت شدن فضایی- زمانی در اجرای تکلیف دوگانه را ناشی از محدودیت سیستم عصبی می‌داند. محدودیت‌های عصبی می‌توانند در سطوح مختلف سیستم عصبی مرکزی و نخاع صورت پذیرد. این محدودیت‌ها می‌توانند هم در طول مرحله برنامه‌ریزی و هم در حین اجرای تکلیف دودستی رخ دهد. در دیدگاه سیستم‌های پویا، در اجرای هر حرکت، سیستم‌های سطح بالاتری مسئول برنامه‌ریزی و سیستم‌های سطح پایین‌تر مسئول اجرای حرکت هستند. اجرای یک تکلیف هماهنگی مثل هماهنگی دودستی از همکاری بین زیرسیستم‌های مثل سیستم عصبی، سیستم عضلانی و دیگر سیستم‌های مرتبط با حرکت، انجام می‌شود (اولیویر<sup>۱</sup>، ۲۰۰۲، ۱).

تحقیقات انتقال، دیدگاه مناسبی از تحلیل این نظریه‌ها در هماهنگی دودستی ارائه نموده‌اند. زنون<sup>۲</sup> و کلسو<sup>۳</sup> (۱۹۹۲ و ۱۹۹۷)، دوستان و همکاران (۲۰۱۶؛ گروه اول) شواهدی از انتقال دوسویه در حرکات دودستی نشان دادند. این انتقال مثبت منجر به استقلال ذاتی سیستم مجری از بازنمایی حافظه‌ای برای تکالیف حرکتی می‌شود که با نظریه برنامه حرکتی تعمیم یافته همخوانی دارد. با این وجود

4. Delgado

5. Tao Wu

6. Primary motor cortex

7. Pre-motor cortex

8. Supplementary motor area

9. Cingulate motor area

10. Cerebellum

1. Oliviera

2. Zenone

3. Kelso

محمد رضا دوستان و زهرا باقر نژاد: بررسی همزمان رفتاری و عصب شناختی یادگیری و انتقال تکلیف ترسیم دودستی نامتقارن قاعده‌ای<sup>۱</sup> (سوینن<sup>۲</sup> و وندروث<sup>۳</sup>، ۲۰۰۴؛ جانتزن<sup>۴</sup> جانتزن<sup>۵</sup> و همکاران، ۲۰۰۸). تکالیف دشوار، با با فعالسازی سطح بالای در نواحی گیجگاهی<sup>۶</sup>، آهیانه‌ای<sup>۷</sup> و پیش‌پیشانی<sup>۷</sup> همبسته همبسته هستند. (گراس<sup>۸</sup> و همکاران، ۲۰۰۲؛ هاردویک<sup>۹</sup> و همکاران، ۲۰۱۲؛ سوینن و همکاران، ۲۰۰۲؛ سوینن و وندروث، ۲۰۰۴).

اکثر پژوهش‌ها، برتری نیمکره غالب (چپ) در طول انجام حرکات دودستی در افراد راست دست را نشان می‌دهند. بازداری و سرکوب توان (فعالیت بیشتر) در باند آلفا در نواحی قشری حرکتی نیمکره غالب (چپ) نسبت به نواحی قشری غیرغالب در طول حرکات دودستی نشان داده شده است (پولاک<sup>۱۰</sup> و همکاران، ۲۰۰۵؛ سرین<sup>۱۱</sup> و همکاران، ۲۰۰۸).

همچنین، فعالسازی بیشتر در باندهای بتا و آلفا در PMC و ناحیه حرکتی مکمل چپ در طول حرکات دودستی غیرهم‌فاز مشاهده می‌شود (پولاک و همکاران، ۲۰۰۷).

با این وجود پژوهش‌های مختلف نشان داده است که با تمرین، الگوهای هماهنگی غیرهم‌فاز و نامتقارن آموخته شده و باثبات

- 
12. Functional Magnetic Resonance Imaging  
 13. Jancke  
 14. Positron Emission Tomography  
 15. Viviani  
 16. Motor evoked potentials  
 17. Nomura  
 18. Electroencephalography  
 19. Deiber  
 20. Transcranial Magnetic Stimulation  
 21. Folty

1. Basal ganglia
2. Swinnen
3. Wenderoth
4. Jantzen
5. Temporal
6. Parietal
7. Prefrontal
8. Gross
9. Hardwick
10. Pollok
11. Serrien

زمانی پیچیده، دچار مشکل هستند (کلپ<sup>۵</sup> و همکاران، ۱۹۸۵؛ کرامپ<sup>۶</sup> و همکاران، ۲۰۰۰). اکثر پژوهش‌هایی که در زمینه بررسی قیود زمانی حرکات دودستی انجام شده است بر ضربه‌زدن دودستی تمرکز نموده‌اند. این در حالی است که شواهدی وجود دارد که بسیاری از قیود مربوط به ضربه زدن دودستی ارتباط بسیار کمی با سیستم حرکتی و انجام حرکات روزمره دارد (ایوری و همکاران، ۲۰۰۴).

به علاوه برخی تحقیقات نشان دادند که تفاوت‌های اساسی در زیربنای شیوه دستیابی به اهداف مربوط به تکالیف ضربه زدن دودستی و ترسیم دودستی دایره وجود دارد (زلازنیک<sup>۷</sup> و همکاران، ۲۰۰۰؛ رابرتسن<sup>۸</sup> و همکاران، ۱۹۹۹؛ زلازنیک و همکاران، ۲۰۰۲). ایوری و همکاران (۲۰۰۴) بیان می‌کنند شکل زمان‌بندی تکالیف ضربه‌زدن انگشتی اساساً متفاوت از تکالیف ترسیم دایره است. چرا که تکلیف اول از زنجیره‌ای از حرکات مجرد تشکیل شده است و لی تکلیف دوم، تکلیفی کاملاً مداوم است.

با توجه به اینکه در مورد حرکات ترسیم دودستی و به‌طور ویژه بررسی همزمان رفتاری و عصب‌شناختی حرکات دودستی نامتقارن

می‌شوند (سوین و وندروث، ۲۰۰۴). پیشرفت مهارت دودستی ناشی از تمرین با تغییرات فعال‌سازی عصبی همراه است؛ به طوری که در تحقیقات fMRI اثبات و تصدیق شده است (بیترز، ۲۰۱۴؛ دبائی، ۲۰۰۴؛ پوتمنز، ۲۰۰۵؛ رمی، ۲۰۰۸؛ رونز، ۲۰۱۱). بر این اساس، پژوهش‌های با استفاده از تکنیک‌های EEG و الکتروانسفالوگرافی معناطیسی<sup>۹</sup> (MEG)، شبکه شبکه عصبی یادگیری دودستی را که با تغییرات ناشی از تمرین تعديل می‌یابند، مشخص و تعیین کرده‌اند (گرلوف و آندرسن<sup>۱۰</sup>، ۲۰۰۲). این تغییرات ناشی از تمرین در بازنمایی‌های عصبی با الگوهای ویژه‌ای از نوسانات مغزی مشخص می‌شوند (هیکوزاکا<sup>۱۱</sup>، ۲۰۰۲).

یکی از مباحث مهم در مورد هماهنگی دودستی که همواره مورد بحث بوده است، بر قیود زمانی مرتبط با حرکات دودستی تاکید می‌کند. برخی پژوهشگران به این نتیجه رسیده‌اند که انسان در تولید حرکاتی که در آن اندام‌ها در تواترهای ترجیحی یا نسبت یکپارچه (۱:۱ و ۱:۲) حرکت نمی‌کنند بسیار مشکل دارند. حتی نوازنده‌گان ماهر در معرض این محدودیت قرار داشته و در تولید ریتم‌های

5. Klapp  
6. Krampe  
7. Zelaznik  
8. Robertson

1. Beets  
2. Magnetoencephalography  
3. Gerloff & Andres  
4. Hikosaka

محمد رضا دوستان و زهرا باقر نژاد: بررسی همزمان رفتاری و عصب شناختی یادگیری و انتقال تکلیف ترسیم دودستی نامتقارن پژوهش‌های کمی انجام شده است، پژوهش حاضر در نظر دارد ضمن بررسی اثر تمرین تکلیف دودستی نامتقارن از نظر اثر نیروی جاذبه (بار تحمیل شده) بر دست و سرعت حرکت دست‌ها بر یادگیری و انتقال این تکلیف به حالت عکس آن، به ارزیابی تغییرات امواج برخی نواحی قشری با استفاده از تحلیلهای EEG بپردازد.

در پژوهش حاضر توسط دوستان (۲۰۱۶) طراحی شد. پایایی آن توسط دوستان ۰/۹۲ گزارش شد و در پژوهش حاضر ۰/۸۹ بدست آمد. این نرم‌افزار مشابه با کار پژوهشی ونگلو<sup>۲</sup> (۲۰۰۶) و دوستان و همکاران (۲۰۱۶) طراحی شده است.

تمامی آزمودنی‌ها پیش از اجرای پیش آزمون توسط آزمونگر با موارد آزمون و با نحوه ترسیم الگو و هماهنگی با صدای مترونوم آشنایی پیدا می‌کردند (در این پژوهش از مترونوم شنیداری استفاده شد؛ زیرا بر اساس نتایج پژوهشات ایوری و همکاران (۲۰۰۴) تنظیم حرکات ریتمیک دودستی در حضور مترونوم شنیداری بهتر رخ می‌دهد. همچنین

روش با توجه به اینکه برخی از عوامل اثرگذار بر نتایج پژوهش به‌طور کامل کنترل نشده است، پژوهش حاضر از نوع پژوهش‌های نیمه‌تجربی به حساب می‌آید. جامعه آماری تحقیق حاضر را دانش‌آموزان پایه هشتم مدرسه شهید ابراهیمی کیانپارس اهواز و نمونه پژوهش را ده نفر (با میانگین سنی  $۱۴/۲ \pm ۰/۱۳$ ) تشکیل دادند ( $N=10$ ) که همگی راست دست، راست پا و راست چشم و دارای دید طبیعی بودند و هیچ‌گونه مشکل جسمانی یا حرکتی نداشتند. برای ارزیابی راست دست بودن آزمودنی‌ها از آزمون سیاهه دست برتری ادینبورگ<sup>۱</sup> استفاده شد. آزمودنی‌ها ابتدا به‌طور داوطلبانه و پس از بررسی توسط پزشک افرادی

2. Vangheluwe

1. Edinburgh handedness inventory (Oldfield 1971)

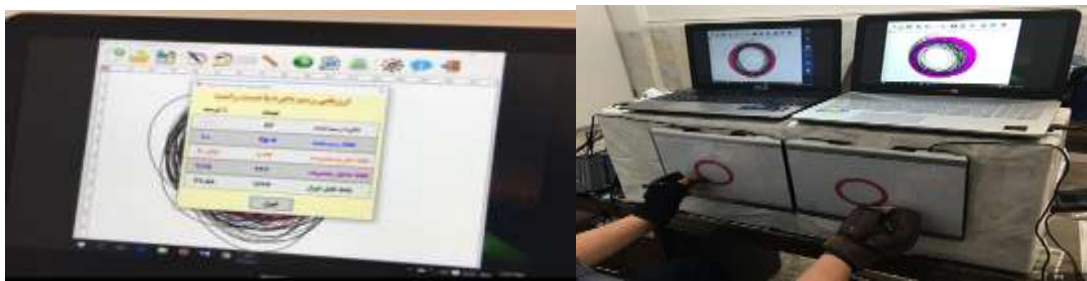
آنچه می داد ولی دست چپ (دست بدون وزنه) انجام می داد و لی دست چپ (دست بدون وزنه) باید در این مدت ۳۰ دایره ترسیم می نمود. پیش آزمون انتقال (جابجایی وزنهای بین دو دست همراه با جابجایی سرعت دستها) نیز به عمل می آمد. لازم به توضیح است که دست راست در جهت ساعتگرد و دست چپ پادساعتگرد به ترسیم دایره می پرداختند (با توجه به اینکه کنترلی<sup>۲</sup> و همکاران (۲۰۰۲) که به مطالعه مقایسه عملکرد آزمودنی ها در هنگام ترسیم دایره در حالت متقارن (یک دست ساعت گرد و دست دیگر پادساعت گرد) و حالت نامتقارن (هر دو دست ساعت گرد یا هر دو پادساعت گرد) پرداختند که نتایج نشان داد که در حالت متقارن عملکرد با ثبات تر است). تمرینات در هر روز ۶ بلوک ۱۰ کوششی و در سه روز متوالی انجام می شد. به طوری که هر کوشش مشابه با آزمون در مدت زمان ۶۰ ضربه مترونوم در ۳۰ ثانیه انجام می شد. پس آزمون ها مشابه با پیش آزمون ها انجام شد. آزمون یادداری در فاصله ۴۸ ساعت پس از تمرین روز سوم به عمل آمد. آزمون به صورت حرکت همزمان دو دست هم به صورت تمرین شده (اکتساب و یادداری) و هم بصورت جایجا شدن الگوها بین دو دست (انتقال) به عمل می آمد.

2. Kennerley

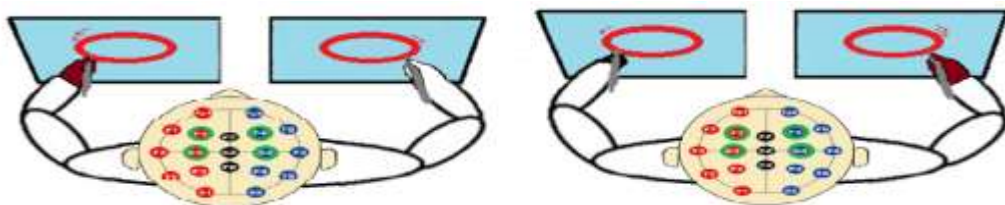
آلان<sup>۱</sup> (۱۹۷۹) بیان می کند تیزحسی زمانی در حوزه شناویی بالاتر است. ابتدا پیش آزمون اکتساب و پیش آزمون انتقال (جابجایی الگوها بین دو دست) به عمل آمد. سپس تمرینات آغاز شد. در تمرینات نامتقارنی به معنای تفاوت سرعت و اثر جاذبه بر دو دست بود. آزمودنی از یک جفت دستکش ویژه که انگشتانش آزاد بود استفاده می نمود، به طوری که در درون دستکش یکی از دستها (دست راست) با وزن ۱/۵ کیلوگرم ساقجه سربی طوری تعییه شده بود که مانعی برای حرکت دست ایجاد نکند و فقط اثر جاذبه را افزایش می داد. این کار باعث افزایش اثر نیروی جاذبه به میزان ۱/۵ کیلوگرم نسبت به دست دیگر می گردید. در این پژوهش حرکات در صفحه عمود بر سطح زمین و موازی سطح بدن (فرونتال) انجام می شد. این موضوع برای سنجش اثر جاذبه بر حرکت انجام می گرفت. در این حرکت همزمان با هر صدای مترونوم دوایر ترسیم می شد. در پیش آزمون همزمان با هر صدای مترونوم هر دو دست با وزنه و دست بدون وزنه به طور همزمان دایره ترسیم می کردند. بطوری که دست راست (دستی که دستکش ۱/۵ کیلوگرمی را تحمل می کرد) باید ۶۰ بار در ۳۰ ثانیه به طور پیاپی ترسیم را

1. Allan

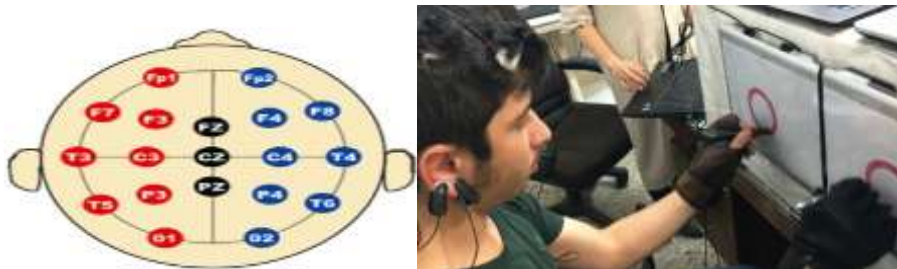
محمد رضا دوستان و زهرا باقر نژاد: بررسی همزمان رفتاری و عصب شناختی یادگیری و انتقال تکلیف ترسیم دودستی نامتقارن



شکل ۱. تصاویری از چگونگی خروجی‌های نرم افزار حرکت هماهنگی دو دستی.



شکل ۲. الگوی نامتقارن دودستی (نامتقارنی از نظر سرعت و اثر نیروی جاذبه بر دو دست) و محل قرارگیری الکترودها در نواحی مغزی مورد بررسی



شکل ۳. آزمودنی در حین اجرای تکلیف هماهنگی دو دستی نامتقارن

معمولًاً بر روی لاله گوش قرار داده می‌شود را ثبت می‌کند. با توجه به محدودیت در تعداد الکترودهای ثابتی، جفت شدگی نواحی حرکتی F3 (فرونلتال یا پیشانی چپ) با F4 (فرونلتال یا پیشانی راست)، C3 (مرکزی یا حرکتی چپ) با C4 (مرکزی یا حرکتی راست) را هم پیش از تمرین و هم پس از

آزمایشات الکتروانسفالوگرافی (EEG) به وسیله متخصص و کارشناس این ابزار در نواحی مورد نظر انجام گرفت. در این روش الکترودها بر روی سطح جمجمه، جایی نزدیک به مکان آناتومیکی مورد نظر، گنجانده می‌شود. EEG معمولًاً پتانسیل‌های الکتریکی در الکترودهای واحد نسبت به یک الکترود بی‌طرف که

مغزی، با استفاده از نرم افزار آماری SPSS نسخه ۲۱ استفاده شد. قابل ذکر است سطح معنی داری در همه آزمون‌ها  $0.05$  در نظر گرفته شد.

### یافته‌ها

آزمون شاپیرو-ویلک نشان داد که در همه آزمون‌ها توزیع داده‌ها طبیعی است. بنابراین از آزمون‌های پارامتریک استفاده شد.

تمرینات (در آزمون اکتساب روز پایانی تمرینات)، مورد بررسی قرار دادیم (شکل ۳). برای بررسی طبیعی بودن توزیع داده‌ها از آزمون شاپیرو-ویلک و همچنین برای ارزیابی برابری واریانس‌ها از آزمون لون استفاده شد. برای تحلیل استنباطی داده‌ها از تحلیل واریانس با اندازه‌گیری‌های تکراری جهت بررسی روند تغییرات درصد صحیح انجام حرکت دودستی نامتقارن طی تمرین و نیز تغییرات توان امواج EEG نواحی مربوطه

جدول ۱. آمار توصیفی مربوط به آزمون‌های به عمل آمده در مراحل اکتساب و انتقال

| آزمون‌ها  | انتقال  |        |                  |         | اکتساب  |        |                  |         | آزمون‌ها |
|-----------|---------|--------|------------------|---------|---------|--------|------------------|---------|----------|
|           | بیشترین | کمترین | انحراف استاندارد | میانگین | بیشترین | کمترین | انحراف استاندارد | میانگین |          |
| پیش‌آزمون | ۵۰/۷۴   | ۱۶/۴۲  | ۸/۹۸             | ۳۴/۹۱   | ۴۸/۵۶   | ۲۸/۸۴  | ۵/۸۳             | ۴۱/۳۶   |          |
| پس‌آزمون  | ۵۵/۹۱   | ۲۷/۱۵  | ۸/۶۷             | ۴۲/۴۵   | ۵۷/۵۴   | ۲۷/۹۵  | ۸/۹۰             | ۴۶/۰۱   |          |
| یاددازی   | ۴۶/۹۳   | ۲۰/۵۱  | ۸/۱۶             | ۴۰/۶۰   | ۵۹/۱۰   | ۳۳/۶۵  | ۶/۶۹             | ۴۶/۸۰   |          |

آزمون‌های انتقال طی تمرینات درصد صحیح انجام حرکت دودستی بهبود یافته است و میانگین آن از  $33/15$  در پیش‌آزمون به  $42/47$  در پس‌آزمون و  $40/21$  در یاددازی رسیده است.

نتایج جدول ۱ نشان می‌دهد در آزمون‌های اکتساب طی تمرینات درصد صحیح انجام حرکت دودستی بهبود یافته است. بطوریکه میانگین آن از  $41/36$  در پیش‌آزمون به  $46/01$  در پس‌آزمون و  $46/80$  در یاددازی رسیده است. همچنین در

جدول ۲. نتایج تحلیل واریانس درون گروهی با اندازه‌گیری‌های تکراری در حرکت دودستی در مراحل اکتساب و انتقال

| گروه   | منبع | مجموع مجذورات | درجه آزادی | مربع میانگین | f     | sig   | اندازه اثر |
|--------|------|---------------|------------|--------------|-------|-------|------------|
| اکتساب | عامل | ۱۷۲/۷۸۳       | ۲          | ۸۶/۳۹۱       | ۲/۶۰۰ | ۰/۱۰۲ | ۰/۲۲۴      |
|        | خطا  | ۵۹۸/۰۷۰       | ۱۸         | ۳۳/۲۲۶       |       |       |            |
| انتقال | عامل | ۳۰۸/۰۹۵       | ۲          | ۱۵۴/۲۹۸      | ۲/۴۹۶ | ۰/۱۱۰ | ۰/۲۱۷      |
|        | خطا  | ۱۱۱۲/۸۵۲      | ۱۸         | ۶۱/۸۲۵       |       |       |            |

محمد رضا دوستان و زهرا باقر نژاد: بررسی همزمان رفتاری و عصب شناختی یادگیری و انتقال تکلیف ترسیم دودستی نام مقارن

(شایطی که حرکت دو دست نسبت به شرایط تمرینی معاوضه می شود) تفاوت معنی داری  $P=0.080$ ، میان آزمون ها وجود نداشت ( $F_{2,18}=2.976$ ). با توجه به میانگین درصد صحیح حرکت در جداول توصیفی می توان مشاهده کرد که روند تغییرات در آزمون های انتقال به پیشرفت حرکت دودستی در حالت عکس منجر نشده است. آزمون های پیگردی نیز نشان می دهد که بین مرحله پیش آزمون مربوط به انتقال با مراحل پس آزمون و یادداری مربوط به انتقال تفاوت معناداری وجود ندارد (به ترتیب  $p=0.080$  و  $p=0.189$ ). میانگین درصد صحیح حرکت از  $34/91$  درصد به  $42/45$  درصد در مرحله پس آزمون و  $40/60$  درصد در مرحله یادداری مربوط به آزمون انتقال رسیده است.

تجزیه و تحلیل های آماری نشان داد که در مراحل اکتساب و یاددازی (مشابه با شرایط تمرینی) تفاوت معنی داری میان آزمون ها وجود ندارد ( $F_{2,18}=2.600$ ،  $P=0.102$ ). با توجه به میانگین درصد صحیح حرکت در داده های توصیفی مشاهده شد که در این گروه روند تغییرات به پیشرفت حرکت دودستی منجر شده است ولی این افزایش معنی دار نبوده است. آزمون های پیگردی نیز بخوبی نشان می دهد که بین مرحله پیش آزمون با مراحل پس آزمون و یادداری تفاوت معناداری وجود ندارد ( $p=0.136$  و  $p=0.079$ ). در گروه دوم میانگین درصد صحیح حرکت از  $41/36$  درصد به  $46/41$  درصد در مرحله پس آزمون و  $46/80$  درصد در مرحله یادداری رسیده است. همچنین در مراحل انتقال بلا فاصله پس از تمرینات و انتقال پس از مرحله بی تمرینی

جدول ۳. نتایج تحلیل واریانس درون گروهی با اندازه گیری های تکراری برای امواج مختلف ناحیه C3 و C4 در مراحل استراحت، پیش آزمون و پس آزمون

| ریتم        | منبع | مجموع مجذورات | درجه آزادی | مریع میانگین | سطح معنی داری | ضریب تاثیر |
|-------------|------|---------------|------------|--------------|---------------|------------|
| نتا         | عامل | 6/343         | ۴          | ۱/۵۸۶        | ۰/۱۶۷         | ۰/۱۷۸      |
|             | خطا  | ۲۹/۲۹۷        | ۳۶         | ۰/۹۱۶        | ۱/۷۳۲         |            |
| آلفا        | عامل | ۱/۹۶۴         | ۴          | ۰/۴۹۱        | ۰/۰۶۲         | ۰/۲۷۷      |
|             | خطا  | ۵/۱۳۳         | ۳۶         | ۰/۱۶۰        |               |            |
| SMR         | عامل | ۰/۳۲۳         | ۴          | ۰/۰۸۱        | ۰/۶۹۱         | ۰/۰۷۹      |
|             | خطا  | ۳/۷۴۱         | ۳۶         | ۰/۱۱۷        |               |            |
| بتابی پایین | عامل | ۰/۳۵۵         | ۴          | ۰/۰۸۹        | ۰/۳۱۳         | ۰/۰۳۸      |
|             | خطا  | ۹/۰۹۲         | ۳۶         | ۰/۲۸۴        |               |            |
| نتا         | عامل | ۱/۴۵۶         | ۴          | ۰/۳۶۴        | ۱/۰۶۸         | ۰/۱۱۸      |
|             | خطا  | ۱۰/۸۹۹        | ۳۶         | ۰/۳۴۱        |               |            |
| آلفا        | عامل | ۱/۱۰۱         | ۴          | ۰/۲۷۵        | ۰/۸۹۱         | ۰/۱۰۰      |
|             | خطا  | ۹/۸۸۸         | ۳۶         | ۰/۳۰۹        |               |            |
| SMR         | عامل | ۱/۸۹۷         | ۲/۳۴۵      | ۰/۱۸۹        | ۰/۱۴۸         | ۰/۲۰۶      |
|             | خطا  | ۷/۳۲۲         | ۱۸/۷۶۳     | ۰/۳۹۰        |               |            |
| بتابی پایین | عامل | ۰/۸۸۴         | ۴          | ۰/۲۲۱        | ۰/۶۴۴         | ۰/۰۷۵      |
|             | خطا  | ۱۰/۹۷۵        | ۳۶         | ۰/۳۴۳        |               |            |

**جدول ۴. آزمون پیگردی LSD برای بررسی جایگاه تفاوت توان امواج نواحی C3 و C4 در شرایط استراحت، پیش آزمون RH و پس آزمون LH**

|            | LH    | پس آزمون | RH | پس آزمون | LH | پیش آزمون | RH | پیش آزمون | استراحت      |      |          |
|------------|-------|----------|----|----------|----|-----------|----|-----------|--------------|------|----------|
| SMR        | ۰/۶۸۲ | ۰/۸۵۷    |    | ۰/۳۰۰    |    | ۰/۳۱۷     |    |           |              | نتا  | ناحیه C3 |
|            | ۰/۴۱۶ | ۰/۴۹۰    |    | ۰/۸۰۰    |    |           |    | ※۰/۰۲۰    | پیش آزمون RH |      |          |
|            | ۰/۲۷۷ | ۰/۳۸۳    |    |          |    | ۰/۴۴۱     |    | ۰/۰۵۵     | پیش آزمون LH |      |          |
|            | ۰/۷۹۸ |          |    | ۰/۲۱۰    |    | ۰/۱۶۵     |    | ۰/۰۵۴۵    | پس آزمون RH  |      |          |
|            |       | ۰/۶۷۳    |    | ۰/۰۹۶    |    | ۰/۰۸۷     |    | ۰/۰۷۹۶    | پس آزمون LH  |      |          |
| بتای پایین | ۰/۴۵۹ | ۰/۷۶۵    |    | ۰/۴۷۳    |    | ۰/۴۷۵     |    |           | استراحت      | آلفا | ناحیه C3 |
|            | ۰/۹۵۲ | ۰/۸۹۱    |    | ۰/۹۰۴    |    |           |    | ※۰/۰۱۱    | پیش آزمون RH |      |          |
|            | ۰/۹۸۹ | ۰/۶۳۵    |    |          |    | ۰/۱۹۲     |    | ۰/۱۰۸     | پیش آزمون LH |      |          |
|            | ۰/۲۰۷ |          |    | ۰/۵۴۶    |    | ۰/۰۶۷     |    | ۰/۲۷۸     | پس آزمون RH  |      |          |
|            |       | ۰/۹۴۳    |    | ۰/۴۱۰    |    | ※۰/۰۱۷    |    | ۰/۱۳۰     | پس آزمون LH  |      |          |
| SMR        | ۰/۲۴۷ | ۰/۱۵۸    |    | ۰/۴۰۰    |    | ※۰/۰۳۸    |    |           | استراحت      | نتا  | ناحیه C4 |
|            | ۰/۲۰۳ | ۰/۶۶۷    |    | ۰/۰۷۴    |    |           |    | ۰/۷۶۸     | پیش آزمون RH |      |          |
|            | ۰/۰۷۱ | ۰/۲۵۱    |    |          |    | ۰/۲۲۲     |    | ۰/۲۴۹     | پیش آزمون LH |      |          |
|            | ۰/۴۱۷ |          |    | ۰/۶۰۴    |    | ۰/۱۹۲     |    | ۰/۳۸۷     | پس آزمون RH  |      |          |
|            |       | ۰/۹۰۷    |    | ۰/۰۴۰    |    | ۰/۰۲۳۸    |    | ۰/۰۳۴۹    | پس آزمون LH  |      |          |
| بتای پایین | ۰/۳۶۶ | ۰/۱۶۷    |    | ۰/۴۷۱    |    | ۰/۰۲۳۴    |    |           | استراحت      | آلفا | ناحیه C4 |
|            | ۰/۶۴۲ | ۰/۸۷۲    |    | ۰/۸۲۶    |    |           |    | ۰/۰۴۵۹    | پیش آزمون RH |      |          |
|            | ۰/۸۵۰ | ۰/۰۹۰    |    |          |    | ۰/۰۹۷۰    |    | ۰/۰۳۹۱    | پیش آزمون LH |      |          |
|            | ۰/۲۹۹ |          |    | ۰/۰۲۳۲   |    | ۰/۰۴۱۰    |    | ۰/۰۸۴۲    | پس آزمون RH  |      |          |
|            |       | ۰/۱۹۴    |    | ۰/۰۴۳۶   |    | ۰/۰۶۵۴    |    | ۰/۰۲۵۳    | پس آزمون LH  |      |          |

مقایسه میانگین‌ها نشان می‌دهد که در بین آزمون‌ها بالاترین توان را داشت است. بررسی ناحیه C4 در گروه دوم نشان می‌دهد که توان امواج بتا و آلفا تغییر معناداری نداشته است. اما موج SMR تنها در شرایط استراحت با پیش آزمون شرایط تمرین تفاوت معناداری داشته است. مقایسه میانگین این موج نشان می‌دهد که در پیش آزمون شرایط تمرین توان را داشته است.

نتایج آزمون‌ها نشان می‌دهد که در ناحیه C3، توان امواج RH، گاما و بتای پایین تغییر معناداری نداشته است. اما توان موج آلفا که شاخصی از فعالیت مغزی است تغییرات نسبتاً معناداری داشته است، به‌طوری که بین شرایط استراحت و پیش آزمون و پس آزمون شرایط تمرین تفاوت وجود دارد، نیز بین پیش آزمون شرایط تمرین با پس آزمون انتقال تفاوت وجود دارد.

محمد رضا دوستان و زهرا باقر نژاد: بررسی هم زمان رفتاری و عصب شناختی یادگیری و انتقال تکلیف ترسیم دودستی نام مقارن

جدول ۵. نتایج تحلیل واریانس درون گروهی با اندازه گیریهای تکراری برای امواج مختلف ناحیه F3 و F4 در مراحل استراحت، پیش آزمون و پس آزمون

| ضریب تاثیر | سطح معنی داری | f     | مریع میانگین | درجه آزادی | مجموع مجذورات | منبع | ریتم       |          |
|------------|---------------|-------|--------------|------------|---------------|------|------------|----------|
| ۰/۲۴۵      | ۰/۰۵۵         | ۲/۰۹۰ | ۰/۰۶۰        | ۴          | ۲/۲۴۱         | عامل | تتا        | ناحیه F3 |
|            |               |       | ۰/۲۱۶        | ۳۶         | ۶/۹۲۳         | خطا  |            |          |
| ۰/۱۵۰      | ۰/۲۵۲         | ۱/۴۱۲ | ۰/۱۲۷        | ۴          | ۰/۰۵۷         | عامل | آلفا       | ناحیه F4 |
|            |               |       | ۰/۰۹۰        | ۳۶         | ۲/۸۷۲         | خطا  |            |          |
| ۰/۱۲۳      | ۰/۳۶۶         | ۱/۱۱۷ | ۰/۱۱۸        | ۴          | ۰/۴۷۲         | عامل | SMR        | ناحیه F3 |
|            |               |       | ۰/۱۰۶        | ۳۶         | ۳/۳۸۱         | خطا  |            |          |
| ۰/۱۲۵      | ۰/۳۳۱         | ۱/۱۴۱ | ۲/۳۹۰        | ۱/۳۸۲      | ۳/۳۰۳         | عامل | بتای پایین | ناحیه F4 |
|            |               |       | ۲/۰۹۴        | ۱۱/۰۵۶     | ۲۳/۱۵۱        | خطا  |            |          |
| ۰/۱۶۱      | ۰/۲۴۶         | ۱/۰۴۰ | ۱/۳۰۶        | ۱/۹۰۳      | ۲/۴۸۷         | عامل | تتا        | ناحیه F3 |
|            |               |       | ۰/۸۴۹        | ۱۵/۲۲۷     | ۱۲/۹۲۰        | خطا  |            |          |
| ۰/۱۳۶      | ۰/۳۰۵         | ۱/۲۶۳ | ۰/۴۵۰        | ۴          | ۱/۸۰۰         | عامل | آلفا       | ناحیه F4 |
|            |               |       | ۰/۳۵۶        | ۳۶         | ۱۱/۴۰۱        | خطا  |            |          |
| ۰/۰۲۹      | ۰/۹۱۵         | ۰/۲۳۸ | ۰/۰۷۹        | ۴          | ۰/۳۱۶         | عامل | SMR        | ناحیه F3 |
|            |               |       | ۰/۱۳۲        | ۳۶         | ۱۰/۶۳۷        | خطا  |            |          |
| ۰/۰۵۹      | ۰/۶۴۷         | ۰/۰۵۰ | ۰/۳۸۵        | ۲/۴۴۳      | ۰/۹۳۷         | عامل | بتای پایین | ناحیه F4 |
|            |               |       | ۰/۷۶۳        | ۱۹/۴۶۶     | ۱۴/۸۵۸        | خطا  |            |          |

جدول ۶. آزمون پیگردی LSD برای بررسی جایگاه تفاوت توان امواج نواحی C3 و C4 در شرایط استراحت، پیش آزمون RH و LH و پس آزمون RH و LH

| LH         | RH    | LH    | RH     | LH    | RH     | استراحت      |      |          |
|------------|-------|-------|--------|-------|--------|--------------|------|----------|
| SMR        | ۰/۱۶۱ | ۰/۸۵۰ | ۰/۲۷۹  | ۰/۳۰۶ |        | استراحت      | تتا  | ناحیه F3 |
|            | ۰/۹۰۸ | ۰/۱۵۶ | ۰/۴۷۵  |       | ۰/۰۷۸  | پیش آزمون RH |      |          |
|            | ۰/۶۳۴ | ۰/۲۴۷ |        | ۰/۹۰۸ | ۰/۱۳۶  | پیش آزمون LH |      |          |
|            | ۰/۱۱۹ |       | ۰/۲۷۱  | ۰/۱۶۸ | *۰/۰۱۸ | RH پیش آزمون |      |          |
|            |       | ۰/۱۳۲ | ۰/۳۶۸  | ۰/۶۲۰ | ۰/۲۵۲  | LH پیش آزمون |      |          |
| بتای پایین | ۰/۴۴۴ | ۰/۶۰۸ | ۰/۳۳۵  | ۰/۹۰۹ |        | استراحت      | آلفا | ناحیه F4 |
|            | ۰/۳۰۹ | ۰/۹۵۱ | ۰/۳۲۰  |       | ۰/۰۵۳  | RH پیش آزمون |      |          |
|            | ۰/۲۴۷ | ۰/۲۰۹ |        | ۰/۸۰۲ | ۰/۱۵۸  | LH پیش آزمون |      |          |
|            | ۰/۶۳۰ |       | ۰/۱۳۱  | ۰/۰۷۶ | ۰/۹۲۷  | RH پیش آزمون |      |          |
|            |       | ۰/۲۳۷ | ۰/۷۲۹  | ۰/۸۰۸ | ۰/۳۰۳  | LH پیش آزمون |      |          |
| SMR        | ۰/۱۵۵ | ۰/۶۱۶ | ۰/۳۰۸  | ۰/۳۷۰ |        | استراحت      | تتا  | ناحیه F3 |
|            | ۰/۹۳۷ | ۰/۵۲۵ | ۰/۷۳۱  |       | ۰/۲۴۱  | RH پیش آزمون |      |          |
|            | ۰/۷۷۱ | ۰/۸۴۴ |        | ۰/۳۵۴ | ۰/۴۵۶  | LH پیش آزمون |      |          |
|            | ۰/۵۶۳ |       | *۰/۰۳۴ | ۰/۰۸۵ | ۰/۱۶۸  | RH پیش آزمون |      |          |
|            |       | ۰/۰۶۹ | ۰/۴۰۶  | ۰/۲۲۱ | ۰/۸۵۶  | LH پیش آزمون |      |          |
| بتای پایین | ۰/۱۰۵ | ۰/۶۱۶ | ۰/۳۰۸  | ۰/۴۴۹ |        | استراحت      | آلفا | ناحیه F4 |
|            | ۰/۹۷۳ | ۰/۵۲۵ | ۰/۴۱۰  |       | *۰/۰۳۵ | RH پیش آزمون |      |          |
|            | ۰/۷۷۱ | ۰/۸۸۴ |        | ۰/۱۶۳ | ۰/۹۱۲  | LH پیش آزمون |      |          |
|            | ۰/۵۶۳ |       | ۰/۸۲۸  | ۰/۰۹۲ | ۰/۷۸۷  | RH پیش آزمون |      |          |
|            |       | ۰/۴۶۹ | ۰/۴۱۹  | ۰/۰۷۱ | ۰/۴۷۷  | LH پیش آزمون |      |          |

ممکن است در یکی از دو سطح برنامه ریزی و اجرا با گرانش برخورد کند. پاپاکسانتیس<sup>۱</sup> (۱۹۹۸) بیان می‌کند در سطح برنامه ریزی نیروی گرانش تنها به عنوان یک نیروی ساده که باید بر آن چیره شد به حساب نمی‌آید بلکه به عنوان یک عامل تاثیرگذار به شمار می‌رود که از آن می‌توان در اجرای حرکات استفاده کرد. در سطح اجرا سیستم عصبی مرکزی در طول حرکت و بر اساس اطلاعات حاصل از حس عمقی با گشتاورهای گرانشی مقابله می‌کند. گرانش به عنوان یک عامل مکانیکی، تاثیر قابل توجهی بر دقت حرکت می‌گذارد. از نظر مکانیکی، قیود مربوط به گرانش زمین می‌تواند بر حرکات دست تاثیرگذار باشد (Nishikawa<sup>۲</sup> و همکاران، ۱۹۹۹) و برخی تحقیقات پیشنهاد کرده‌اند که نیروی گرانش زمین ممکن است در بوجود آمدن برنامه حرکتی نقش داشته باشند (پاپاکساندیس و همکاران، ۲۰۰۳؛ پاپاکسانتیس و همکاران، ۲۰۰۵). در حرکات دودستی که در آن دست‌ها سعی می‌کنند نیروهای ایزومتریک با شدت نابرابر ایجاد کنند، بین حرکت دست‌ها تداخل رخ می‌دهد (ایوری و همکاران، ۲۰۰۴). در تمام این شرایط، بین حرکت دست‌ها تداخل رخ می‌دهد. این مباحث نتایج پژوهش حاضر را مورد تایید قرار می‌دهد. زیرا انتقالی به

بررسی ناحیه F3 نشان می‌دهد که توان امواج آلفا، بتای پایین، SMR و گاما در آزمون‌های مختلف تغییر معناداری نداشته و تنها در شرایط استراحت با پس‌آزمون شرایط تمرین تفاوت داشته‌است، بطوریکه در پس‌آزمون شرایط تمرین بالاترین توان را نشان می‌دهد. بررسی ناحیه F4 نشان می‌دهد که توان امواج SMR و بتای پایین تغییر معناداری نداشته‌اند. موج بتا در پس‌آزمون شرایط تمرین با پیش‌آزمون انتقال تفاوت داشته بطوری که بیشترین توان را در پس‌آزمون شرایط تمرین می‌توان مشاهده کرد. موج آلفا در شرایط استراحت با پیش‌آزمون شرایط تمرین تفاوت معناداری داشته است به‌طوریکه بررسی میانگین این موج نشان می‌دهد که بالاترین توان در پیش‌آزمون شرایط تمرین و پایین‌ترین آن در پس‌آزمون انتقال مشاهده می‌شود.

### بحث و نتیجه‌گیری

نتایج پژوهش نشان داد که در شرایطی که همزمان سرعت و اثر نیروی جاذبه بر حرکت دو دست متفاوت است، انتقال حرکت دودستی نامتقارن به حالت جابجا شده بین دو دست صفر است. نیروی گرانش نقش مهمی در جهت‌گیری فضایی، حس عمقی، جابجایی و آغاز یا متوقف کردن حرکات ما دارد. سیستم عصبی مرکزی

1. Papaxanthis  
2. Nishikawa

باشد (سرعت و اثر جاذبه) هم یادگیری و هم انتقال با مشکل مواجه می‌شود. بنابراین در تفاسیری که بر اساس نظریه‌های سلسله مراتبی صورت می‌گیرد باید سطوح چندگانه‌ای برای کنترل حرکات دودستی در نظر گرفت. به عبارتی می‌توان سطوح متفاوتی از دشواری تکلیف را لحاظ کرد. زیرا ترکیب دو یا چند ویژگی که در ترکیب با هم، جفت‌شدگی قوی‌تری ایجاد می‌کنند. بنابراین فارغ از اینکه سرعت و اثر نیروی جاذبه به تنها یی در چه سطحی کنترل می‌شوند، غلبه بر تفاوت در ترکیب این دو ویژگی، دشوارتر از هر کدام از آنها به تنها یی است.

نتایج داده‌های EEG نشان داد که در ناحیه C3، توان موج آلفا که شاخصی از فعالیت مغزی است تغییرات نسبتاً معناداری داشته است، به طوری که در پس‌آزمون‌ها بالاترین توان را داشت. این موضوع نشان می‌دهد که فعالیت ناحیه C3 در پس‌آزمون‌ها در اثر سازگاری بوجود آمده در پی تمرین کاهش یافته است که در یادگیری تکالیف حرکتی دودستی به طور منطقی رخ می‌دهد. همچنین بررسی ناحیه C4 نشان داد که توان موج SMR که ریتم حسی-حرکتی است، در پیش‌آزمون شرایط تمرین بالاترین توان را داشت. این نتایج

حالت معاوضه شده حرکت دودستی رخ نداد. با این وجود در گروه اول پژوهش دوستان و همکاران (۲۰۱۶) که تفاوت تنها در اثر نیروی جاذبه بود، انتقال به حالت معاوضه حرکات بین دو دست مثبت بود. آن‌ها پیشنهاد کردند که غلبه بر نیروی گرانش در هماهنگی دودستی در سطح اجرا و سطوح پایین‌تر سیستم عصبی کنترل می‌شود و غلبه بر این قیود در هماهنگی دودستی نیازی به تغییر در برنامه حرکتی شکل گرفته قبلی ندارد. البته شاید عدم یادگیری و انتقال در پژوهش حاضر را بتوان بیشتر به تفاوت زمانی در حرکت دو دست نسبت داد. چرا که تقارن زمانی حرکات دودستی، یک رفتار حرکتی بسیار پایدار است. ایوری و همکاران (۲۰۰۴) بیان کرده‌اند که انسان در تولید حرکاتی که در آن‌ها اندام‌ها در تواترهای ترجیحی حرکت نمی‌کنند، بسیار مشکل دارد.

به طور کلی با توجه به پژوهش‌های پیشین به نظر می‌رسد در حرکات دودستی که تنها یک ویژگی در دو دست متفاوت است (که در تحقیقات پیشین مورد مطالعه قرار گرفته است)، تمرین به راحتی باعث یادگیری و حتی در برخی موارد انتقال دوسویه می‌شود. با این حال با توجه به نتایج پژوهش حاضر، در حرکات دودستی، اگر بیش از دو ویژگی در دو دست متفاوت

یافته با نتایج خروجی رفتاری همخوانی دارد. چرا که در پس آزمون انتقال، فعالیت ناحیه فرونتال نیمکره راست افزایش یافته است. مشاهده شده است که کاهش توان آلفا، افزایش فعالیت در ناحیه حسی حرکتی را نشان می‌دهد؛ تغییرات امواج پژوهش حاضر نشان می‌دهد که دشوارترین شرایط، پیش‌آزمون انتقال (تکلیف دشوار با دست غیربرتر - ساده با دست برتر) بوده است. همچنین در این تکلیف ناحیه C3 فعال‌تر بوده است. این یافته با نتایج پژوهش گراس و همکاران (۲۰۰۵) همخوان است. آنها با استفاده از MEG، سطوح بالایی از توان کلی M1 غالب (M1 چپ برای افراد راست دست) را برای هر دو روش هماهنگی هم‌فاز و غیرهم‌فاز گزارش کردند (گراس و همکاران، ۲۰۰۵)، که نتایج ما و یافته‌های همکاران، (آراماکی<sup>۴</sup> و همکاران، ۲۰۰۶) را مورد حمایت قرار می‌دهند. روی هم‌رفته وجه مشترک پژوهش حاضر و پژوهش‌های پیشین این است که کنترل حرکتی در نیمکرهای متقابن نیست. اکثر پژوهش‌ها، برتری و تسلط نیمکره غالب (چپ) در طول انجام حرکات دودستی در افراد راست دست را نشان می‌دهند. بازداری و سرکوب T1 می‌توان در باند آلفا (فعالیت بیشتر) در غالبهای نسبت به نواحی غیرغالب در طول حرکات دودستی قوی‌تر است (پولاک و

موید این موضوع است که تکلیف دودستی در پیش‌آزمون‌ها، به‌ویژه پیش‌آزمون انتقال، بالاترین درجه دشواری را دارد و نیاز به هوشیاری سطح بالایی دارد. پیشرفت مهارت دودستی ناشی از تمرین با تغییرات فعال‌سازی عصبی همراه است؛ به‌طوری که در پژوهش‌های fMRI اثبات و تصدیق شده است (بیترز، ۲۰۱۴؛ دبائی، ۲۰۰۴؛ پوتمنز، ۲۰۰۵؛ رمی، ۲۰۰۸؛ رونز، ۲۰۱۱). بر این اساس، پژوهش‌های با استفاده از تکنیک‌های EEG و MEG شبکه یادگیری دودستی را که با تغییرات ناشی از تمرین تعدیل می‌یابند، مشخص و تعیین کرده‌اند؛ از جمله، ناحیه پیش‌حرکتی خلفی<sup>۱</sup> (PMD)، قشر آهیانهای تحتانی<sup>۲</sup> (PPC) ناحیه حرکتی مکمل<sup>۳</sup> (SMA) و ناحیه حرکتی سینگولیت دوسویه (گرلوف و آندرس، ۲۰۰۲). این تغییرات ناشی از تمرین در بازنمایی‌های عصبی با الگوهای ویژه‌ای از نوسانات مغزی مشخص می‌شوند (هیکوزاکا، ۲۰۰۲).

بررسی ناحیه F3 نشان داد که توان امواج در آزمون‌های مختلف تغییر معناداری نداشته و تنها بررسی میانگین توان موج آلفا نشان می‌دهد که بالاترین توان در پیش‌آزمون شرایط تمرین و پایین‌ترین آن در پس‌آزمون انتقال مشاهده می‌شود. این

- 
1. dorsal premotor area
  2. Posterior parietal cortex
  3. Supplementary motor area

محمد رضا دوستان و زهرا باقر نژاد: بررسی همزمان رفتاری و عصب شناختی یادگیری و انتقال تکلیف ترسیم دودستی نامتقارن همکاران، ۲۰۰۵). همچنین، فعال سازی بیشتر در باندهای بتا و آلفا در PMC چپ و M1 چپ به ترتیب در طول حرکات دودستی غیرهم‌فاز مشاهده می‌شود (پولاک و همکاران، ۲۰۰۷).

در مورد تغییر فعالیت سیستم عصبی در اثر تفاوت در اثر نیروی جاذبه در دو دست یا تفاوت در بار برداشته شده، تحقیقات بسیار اندک است. با این حال به عقیده سرین<sup>۱</sup> (۲۰۰۳)، پیوستگی جهت‌دار به ویژه در باند بتا از نیمکره غالب به نیمکره غیرغالب در تکالیف دودستی افزایش می‌یابد؛ هرگاه فقط با دست چپ یک وزنه بلند شود، این بازداری از غیرغالب به غالب اعمال می‌شود. نویسنده‌گان پیشنهاد می‌کنند که عملکرد به طور حتم در شرایط بار بار دست چپ به علت تغییرات اعمال شده در سیستم حسی- حرکتی یا به علت ناتوانی نیمکره غیرغالب در هدایت حرکات دودستی، کاهش می‌یابد. با این حال، بی ثباتی‌ها در جهت جریان اطلاعات بین نیمکره‌های غالب و غیرغالب نیز توسط پولاک<sup>۲</sup> (۲۰۰۵) با استفاده از MEG گزارش شده است.

دلگادو و همکاران (۲۰۱۴) بیان می‌کنند که در حرکات دستی شرایط به

ترتیب از آسان‌ترین به سخت‌ترین شامل حرکت یک‌دستی با دست راست، یک‌دستی با دست چپ، متقارن دودستی و نامتقارن دودستی است. گرچه افزایش تدریجی منابع عصبی کاملاً با افزایش مطالبه و تقاضا انتظار می‌رود، به طوری که در چند پژوهش fMRI مشاهده شده است (آراماکی، ۲۰۰۶؛ دبائر، ۳؛ a ۲۰۰۴؛ ماiovil، ۲۰۰۲؛ وندروث، ۲۰۰۵). به طور قابل توجهی، حرکات دودستی و حرکات یک‌سویه سمت چپ کاهش مشابهی را در توان آلفا نشان می‌دهد که بیشتر از حرکات یک‌سویه سمت راست است، به طور معکوس افزایش تدریجی مورد انتظاری را با تقاضا‌هایی تکلیف یا به طور مشابه بین حرکات یک‌سویه سمت راست و چپ نشان داده شده است (دبیر، ۲۰۰۱). هماهنگی هم‌فاز دودستی، حرکتی است که با تلاش کمتر، حتی کمتر از تکلیف تک‌دستی همراه است (سرین، ۲۰۰۸). بنابراین در حرکات دودستی براساس میزان دشواری تکلیف منابع عصبی درگیر در حرکت افزایش می‌یابد. البته اکثر پژوهش‌ها در این مورد بر حرکات ضربه‌زدن انگشتی تمرکز یافته‌اند. اجرای حرکات دودستی‌ای که مستقیماً ناسازگار یا ناموفق هستند نیازمند تلاش محاسباتی سطح بالاتری است و قشر آهیانه‌ای را

3. Debaere  
4. Mayville

1. Serrien  
2. Pollok

می‌کنند و با تمرین دودستی می‌توان تا حدی عدم تقارن در پی سکته را با استفاده از تعاملات جفت شونده بین دو دست کاهش داد. بنابراین روش‌های تمرین دودستی بویژه تکالیف چالش‌برانگیز برای بازتوانی این بیماران توصیه شده است. بر اساس رویکرد سیستم‌های پویا، الگوهای هماهنگی ثابت دودستی در نتیجه تلفیق محدودیت‌های درونی (پویایی‌های عصبی و اتصالات مغز) و بیرونی (تکالف و محیطی) پدیدار می‌شوند (سلیمان-مالکون<sup>۲</sup> و همکاران، ۲۰۱۰). در نتیجه، هنگامی که محدودیت‌های درونی به واسطه آسیبی معین (مانند سکته مغزی) دچار تغییر می‌شوند، انطباق محدودیت‌های بیرونی تحمیل شده بر سیستم در خلال بازتوانی از اهمیتی اساسی برخوردار می‌شود که می‌تواند به روند بازپروری و تحریک بخش‌های آسیب دیده کمک نماید (روز<sup>۳</sup> و وینستین<sup>۴</sup>، ۲۰۰۵). بنابراین از تکالیف دشواری نظیر تکلیف دودستی پژوهش حاضر می‌توان در توانبخشی افراد دچار سکته مغزی استفاده نمود.

در گیر می‌کند (وندروث و همکاران، ۲۰۰۴؛ نومورا و همکاران، ۲۰۱۶). میستر<sup>۱</sup> و همکاران (۲۰۱۰) نشان دادند که این موضوع در مورد انجام حرکات دودستی که زمانبندی جفت نشده‌ای دارند صدق می‌کند. بنابراین پیشنهاد کردند که قشر آهیانه‌ای در زمانبندی در حین برنامه‌ریزی حرکت در گیر است.

در تحقیق حاضر با توجه به اینکه آزمودنی‌ها سه جلسه تمرین داشتند انتظار تغییر و تعدیل منابع عصبی، منطقی به نظر می‌رسد که چنین شرایطی نیز پیش آمده است و تغییرات همگی در جهت سازگاری با تکلیف و به کارگیری منابع عصبی کمتر پیش رفته است. با این حال خروجی‌های رفتاری عدم یادگیری و انتقال دوسویه در تکلیف دودستی پژوهش را نشان داد.

محققان و متخصصان بالینی تلاش‌های زیادی را وقف درک مشکلات دو دست پس از سکته مغزی و همچنین طرح روش‌های بازتوانی تازه کرده‌اند. با این وجود، موضوع مهمی که مورد غفلت واقع شده این است که از نقطه نظر سیستم‌های پویا، رفتار دودستی نتیجه الگوی کارکردی خاص هر یک از دست‌ها است، جایی که دو دست در قالب یک سیستم واحد عمل

2. Sleimen-Malkoun  
3. Rose  
4. Winstein

1. Meister

- Allan LG (1979). The perception of time. *Percept Psychophys* 26:340-354.
- Aramaki, Y., Honda, M., Sadato, N., (2006). Suppression of the non-dominantmotor cortex during bimanual symmetric finger movement: a functional magnetic resonance imaging study. *Neuroscience* 141, 2147–2153.
- Beets, I.A.M., Gooijers, J., Boisgontier, M.P., Pauwels, L., Coxon, J.P., Wittenberg, G. Swinnen, S.P., (2014). Reduced neural differentiation between feedback conditions after bimanual coordination training with and without augmented visualfeedback. *Cereb. Cortex*.
- Brandes J, Rezvani F, & Heed T. (2016). Visual guidance of bimanual coordination relies on movement direction. *bioRxiv* preprint first posted online Jul. Posted July 12.
- Cardoso de Oliveira S. (2002) The neural basis of bimanual coordination: recent neurophysiological evidence and functional models. *Acta Psych* 110:139-159.
- Cuadrado, M.L., Arias, J.A., Gonzalez-Gutierrez, J.L., Egido, J.A., Varela de Sejas, E. (1999). Cerebral activation during movement of both hands. A study with transcranial Doppler. *Rev. Neurol.* 29, 793–796.
- Debaere, F., Wenderoth, N., Sunaert, S., Van Hecke, P., Swinnen, S.P., (2004b). Changes in brain activation during the acquisition of a new bimanual coordination task. *Neuropsychologia* 42, 855–867.
- Debaere, F., Wenderoth, N., Sunaert, S., Van Hecke, P., Swinnen, S.P., (2004a). Cerebellar and premotor function in bimanual coordination: parametric neuralresponses to spatiotemporal complexity and cycling frequency. *Neuroimage* 21, 1416–1427.
- Deiber, M.P., Caldara, R., Ibañez, V., Hauert, C.A., (2001). Alpha band power changes in unimanual and bimanual sequential movements, and during motor transitions. *Clin. Neurophysiol.* 112, 1419–1435.
- Delgadoa L M, Solesio-Jofre E A, D.J. Serrienb, D. Mantinic,D, A. Daffertshofere, S.P. Swinnena (2014). Understanding bimanual coordination across small time scales from an electrophysiological perspective. *Neurosci Biobehav Rev.* Nov; 47:614-35.
- Doustan. M, Namazizadeh. M. Sheikh (2016). M, Naghd. N. The Effect of Change in Different Characteristics in Movements of Two Hands on Transfer of Asymmetrical Bimanual Movement to Its Converse Pattern. *Motor Behavior.* Summer; 8 (24): 17-30. (In Persian).
- Duque, J., Mazzocchio, R., Dambrosia, J., Murase, N., Olivier, E., Cohen, L.G. (2005). Kinematically specific interhemispheric inhibition operating in the process of generation of a

- voluntary movement. *Cereb. Cortex* 15, 588–593.
- Foltys, H., Sparing, R., Boroojerdi, B., Krings, T., Meister, I.G., Mottaghay, F.M., Töpper, R. (2001). Motor control in simple bimanual movements: a transcranial magnetic stimulation and reaction time study. *Clin. Neurophysiol.* 112, 265–274.
- Gerloff, C., Andres, F.G., (2002). Bimanual coordination and interhemispheric interaction. *Acta Psychol. (Amst.)* 110, 161–186.
- Gross, J., Pollok, B., Dirks, M., Timmermann, L., Butz, M., Schnitzler, A., (2005). Task-dependent oscillations during unimanual and bimanual movements in the human primary motor cortex and SMA studied with magnetoencephalography. *Neuroimage* 26, 91–98.
- Gross, J., Timmermann, L., Kujala, J., Dirks, M., Schmitz, F., Salmelin, R., Schnitzler, A., (2002). The neural basis of intermittent motor control in humans. *Proc. Natl. Acad. Sci. U.S.A.* 99, 2299–2302.
- Hardwick, R.M., Rottschy, C., Miall, R.C., Eickhoff, S.B., (2012). A quantitative meta-analysis and review of motor learning in the human brain. *Neuroimage*.
- Hikosaka, O., Nakamura, K., Sakai, K., Nakahara, H., (2002). Central mechanisms of motor skill learning. *Curr. Opin. Neurobiol.* 12, 217–222.
- Holper, L., Biallas, M., Wolf, M., (2009). Task complexity relates to activation of cortical motor areas during uni- and bimanual performance: a functional NIRS study. *Neuroimage* 46, 1105–1113.
- Ivry R., Diedrichsen J., Spencer R., et al (2004). A Cognitive Neuroscience Perspective on Bimanual Coordination and Interference. Review the literature. University of California. Neuro-Behavioral Determinants of Interlimb Coordination. pp 259-295.
- Jancke, L., Peters, M., Schlaug, G., Posse, S., Steinmetz, H., & Müller-Gärtner, H.-W. (1998). Differential magnetic resonance signal change in human sensorimotor cortex to finger movements of different rate of the dominant and the subdominant hand. *Cognitive Brain Research*, 6, 279–284.
- Jantzen, K.J., Steinberg, F.L., Kelso, J.A.S., (2008). Coordination dynamics of large-scale neuronal circuitry underlying rhythmic sensorimotor behavior. *J. Cogn. Neurosci.* 21, 2420–2433.
- Kelso JAS, Southard DL, Goodman D (1979) on the coordination of two-handed movements. *J Exp Psychol Hum Percept Perform* 5:229-238.
- Kennerley, S.W., Diedrichsen, J., Hazeltine, E., Semjen, A., Ivry, R.B., (2002). Callosotomy patients exhibit temporal uncoupling during continuous bimanual movements. *Nat. Neurosci.* 5, 376–381.
- Klapp S, Hill MD, Tyler JG, Martin ZE, Jagacinski RJ, Jones MR (1985). On marching to two different drummers: perceptual aspects of the difficulties. *J*

- Exp Psychol Hum Percept Perform 11:814-827.
- Krampe RT, Kliegl R, Mayr U, Engbert R, Vorberg D (2000) The fast and the slow of skilled bimanual rhythm production: Parallel vs integrated timing. *J Exp Psychol Hum Percept Perform* 26:206-233.
- Mayville, J.M., Jantzen, K.J., Fuchs, A., Steinberg, F.L., Kelso, J.A.S., (2002). Cortical and subcortical networks underlying syncopated and synchronized coordination revealed using fMRI. *Hum. Brain Mapp.* 17, 214–229.
- Mechsner F, Kerzel D, Knoblich G, Prinz W (2001) Perceptual basis of bimanual coordination. *Nature* 414:69-73.
- Meister I G, Foltys H, Gallea C, and Hallett M. How the brain handles temporally uncoupled bimanual movements. *Cerebral Cortex.* 2010; 20(12) : 2996-3004.
- Meyer-Lindenberg A, Ziemann U, Hajak G, Cohen L, Berman KF (2002). Transitions between dynamical states of differing stability in the human brain. *Proc Natl Acad Sci USA;* 99: 10948–53.
- Nishikawa KC, Murray ST, Flanders M (1999). Do arm postures vary with the speed of reaching? *Neurophysiol.* 81:2582–2586.
- Nomura Y, Jono Y, Tani K, Chujo Y and Hiraoka K (2016). Corticospinal Modulations during Bimanual Movement with Different Relative Phases. *Front. Hum. Neurosci.* 10:95. with 14 Reads, DOI: 10.3389/fnhum.2016.00095.
- Papaxanthis C, Pozzo T, McIntyre J (2005). Kinematic and dynamic processes for the control of pointing movements in humans revealed by short-term exposure to microgravity. *Neuroscience.* 35(2):371–383.
- Papaxanthis C, Pozzo T, Popov K. McIntyre. J (2005). Hand trajectories of vertical arm movements in one-G and zero-G environments: Evidence for a central representation of gravitational force. *Exp Brain Res.* 120:496–502.
- Papaxanthis C, Pozzo T, Schieppati M (2003). Trajectories of arm pointing movements on the sagittal plane vary with both direction and speed. *Exp Brain Res.* 148(4):498–503.
- Pollok, B., Butz, M., Gross, J., Schnitzler, A., (2007). Intercerebellar coupling contributes to bimanual coordination. *J. Cogn. Neurosci.* 19, 704–719.
- Pollok, B., Südmeyer, M., Gross, J., Schnitzler, A., (2005b). The oscillatory network of simple repetitive bimanual movements. *Cogn. Brain Res.* 25, 300–311.
- Pollok, B., Südmeyer, M., Gross, J., Schnitzler, A., (2005b). The oscillatory network of simple repetitive bimanual movements. *Cogn. Brain Res.* 25, 300–311.
- Puttemans, V., Wenderoth, N., Swinnen, S.P., (2005). Changes in brain activation during the acquisition of a multifrequency bimanual coordination task: from the cognitive stage to advanced levels of

- automaticity. *J. Neurosci.* 25, 4270–4278.
- Remy, F., Wenderoth, N., Lipkens, K., Swinnen, S.P., (2008). Acquisition of a new bimanual coordination pattern modulates the cerebral activations elicited by an intrinsic pattern: an fMRI study. *Cortex* 44, 482–493.
- Rémy, F., Wenderoth, N., Lipkens, K., Swinnen, S.P., (2010). Dual-task interference during initial learning of a new motor task results from competition for the same brain areas. *Neuropsychologia* 48, 2517–2527.
- Robertson SD, Zelaznik HN, Lantero DA, Bojczyk KG, Spencer RM, Doffin JG, Schneidt T (1999). Correlations for timing consistency among tapping and drawing tasks: Evidence against a single timing process for motor control. *J Exp Psychol Hum Percept Perform* 25:1316-1330.
- Ronsse, R., Puttemans, V., Coxon, J.P., Goble, D.J., Wagemans, J., Wenderoth, N., Swinnen, S.P., (2011). Motor learning with augmented feedback: modality-dependent behavioral and neural consequences. *Cereb. Cortex* 21, 1283–1294.
- Rose DK, Weinstein CJ. The co-ordination of bimanual rapid aiming movements following stroke. *Clin Rehabil.* 2005; 19(4):452-62.
- Serrien D, Cassidy MJ, Brown P (2003). The importance of the dominant hemisphere in the organization of bimanual movements. *Hum Brain Mapp*; 18: 296–305.
- Serrien, D.J., (2008). Coordination constraints during bimanual versus unimanual performance conditions. *Neuropsychologia* 46, 419–425.
- Shea CH, Buchanan JJ, Kennedy DM (2016). Perception and action influences on discrete and reciprocal bimanual coordination.
- Sleimen-Malkoun R, Temprado J. J, Berton E (2010). A dynamic systems approach to bimanual coordination in stroke: implications for rehabilitation and research. *Medicina (Kaunas)*; 46(6):374-81.
- Spencer RMC, Ivry RB. The temporal representation of in-phase and anti-phase movements. *Hum Mov Sci* 2007; 26: 226–34.
- Stinear, J.W., Byblow, W.D., (2002). Disinhibition in the human motor cortex is enhanced by synchronous upper limb movements. *J. Physiol.* 543, 307–316.
- Swinnen SP, Dounskaia N, Duysens J (2002) Patterns of bimanual interference reveal movement encoding within a radial egocentric reference frame. *J Cog Neuro* 14:463-471.
- Swinnen, S.P., Wenderoth, N., (2004). Two hands, one brain: cognitive neuroscience of bimanual skill. *Trends Cognit. Sci.* 8, 18–25.
- Tao Wu, Liang Wang, Mark Hallett, et al (2010). Neural correlates of bimanual anti-phase and in-phase movements in Parkinson's disease. Published by oxford university press on behalf of guarantors of brain. A journal of neurology. Doi 10.1093/brain/awq151. 133; 2394-2409.

- Ulle'n F, Forssberg H, Ehrsson HH. (2003). Neural networks for the coordination of the hands in time. *J Neurophysiol.* 89:1126--1135.
- Vangheluwe S, Suy E, Wenderoth N, Swinnen SP (2006). Learning and transfer of bimanual multifrequency patterns: effector-independent and effector-specific levels of movement representation. *Exp Brain Res* 170: 543–554.
- Viviani, P., Perani, D., Grassi, F., Bettinardi, V., Fazio, F., (1998). Hemispheric asymmetries and bimanual asynchrony in left- and right-handers. *Exp. Brain Res.* 120,531–536.
- Wenderoth N, Debaere F, Sunaert S, Swinnen SP. (2005). Spatial interference during bimanual coordination: differential brain networks associated with control of movement amplitude and direction. *Hum Brain Mapp.* 26:286--300.
- Wenderoth N, Debaere F, Sunaert S, van Hecke P, Swinnen SP. (2004). Parieto-premotor areas mediate directional interference during bimanual movements. *Cereb Cortex.* 14:1153--1163.
- Zelaznik HM, Spencer RM, Doffin J (2000) Temporal precision in tapping and circle drawing movements at preferred rates is not correlated: Further evidence against timing as a general purpose ability. *J Motor Behr* 32:193-199.
- Zelaznik HM, Spencer RM, Ivry RB (2002) Dissociation of explicit and implicit timing processes in repetitive tapping and drawing movements. *J Exp Psychol Hum Percept Perform* 28:575-588.
- Zenone P.G. and J.A. Kelso (1992). Evolution of behavioral attractors with learning: nonequilibrium phase transitions, *J. Exp. Psychol.—Hum. Percept. Perform* 18 (2), pp. 403–421.
- Zenone P.G. and J.A. Kelso (1997). Coordination dynamics of learning and transfer: collective and component levels, *J. Exp. Psychol.—Hum. Percept. Perform* 23 (5), pp. 1454–1480.